

مهندسی مکانیک مدرس

کمانش متقارن و نامتقارن نانورق‌های دایروی و حلقوی در فضای غیرمحلي الاستیسیته

محمد بدروع^۱، شاهرخ حسیني هاشمي^{۲*}، رضا ناظم‌نژاد^۳

۱- دانشجوی کارشناسی ارشد مهندسی مکانیک، دانشگاه علم و صنعت ایران، تهران

۲- استاد مهندسی مکانیک، دانشگاه علم و صنعت ایران، تهران

۳- دانشجوی دکتراي مهندسي مکانیک، دانشگاه علم و صنعت ایران، تهران

* تهران، صندوق پستي ۱۶۳-۱۶۷۶۵، shh@iust.ac.ir

چکیده- در این مقاله، حلی دقیق و تحلیلی برای کمانش متقارن و نامتقارن نانورق‌های دایروی و حلقوی نازک در زیر بار فشار شعاعی یکنواخت ارائه می‌شود. برای بیان اثرات مقیاس اندازه از تئوری غیرمحلي ارینگ استفاده شده و برای اثبات درستی داده‌ها، بارهای کمانشی متقارن با داده‌های موجود در مقالات مقایسه می‌گردد. فرض بر آن است که خواصی از قبیل مدول یانگ، چگالی و ضریب پواسن در همه جای نانورق ثابت باشد. همچنین، اثر تغییرات پارامترهای هندسی، شرایط تکیه‌گاهی مختلف و پارامتر غیرمحلي بر روی بارهای کمانش و اینکه این پارامترها چه تأثیری بر متقارن یا نامتقارن بودن این بارها دارند، مورد بررسی قرار گرفته است. برای مدل کردن نانورق‌های نازک از تئوری نازک ورق‌ها (کیرشهف) استفاده شده است.

کلیدواژگان: نانورق، کمانش، غیرمحلي، حل دقیق، کیرشهف

Axisymmetric/asymmetric buckling of circular/annular nanoplates via nonlocal elasticity

M. Bedroud¹, Sh. Hosseini Hashemi^{2*}, R. Nazemnezhad³

1- MSc. Student, Mech. Eng., IUST, Tehran, Iran

2- Prof., Mech. Eng., IUST, Tehran, Iran

3- PhD. Student, Mech. Eng., IUST, Tehran, Iran

* P.O.B. 16765-163 Tehran, shh@iust.ac.ir

Abstract- The present study proposes an analytical solution for the axisymmetric/asymmetric buckling analysis of thin circular/annular nanoplates under uniform radial compressive in-plane load. In order to consider small scale effects, nonlocal elasticity theory of Eringen is employed. To ensure the efficiency and stability of the present methodology, the results are compared with other presented in literature. Material properties including Young's modulus, density, Poisson's ratio are assumed to be constant throughout the body of the nanoplate. In addition, the effect of small scales on critical buckling loads for different parameters such as radius of the nanoplate, boundary condition, mode number and geometry parameters are investigated. In order to obtain the critical buckling load, the asymmetric modes as well as axisymmetric modes are considered. The thin nanoplate is modeled using Kirchhoff plate theory.

Keywords: Nanoplate, Buckling, Nonlocal, Analytical solution, Kirchhoff

۱- مقدمه

سماعی [۱۹] پاسخ کمانشی نانوورق مستطیلی ایزوتروپیک در زیر بارگذاری یکنواخت را به صورت تحلیلی ارائه کرده‌اند. در این کار برای مدل کردن نانوورق نسبتاً ضخیم از تئوری مرتبه اول برشی میندلین استفاده شده است. سماعی و همکارانش [۲۰] در مقاله خود رفتار کمانشی نانوورق مستطیلی بر روی بستر پسترناك^۴ را با استفاده از مدل غیرمحلى ورق میندلین به صورت تحلیلی مورد بررسی قرار داده‌اند. فرج پور و همکارانش در [۲۱] حلی تحلیلی از کمانش متقارن ورق‌های دایروی گرافن در زیر بارگذاری یکنواخت شعاعی را ارائه کرده‌اند. در [۲۲] راوری و شهیدی با استفاده از روش عددی تفاضل محدود کمانش نانوورق‌های دایروی حلقوی را مورد بررسی قرار داده‌اند.

در این مقاله، برای اولین بار برای به دست آوردن بارهای دقیق بحرانی کمانشی نانوورق‌های دایروی و حلقوی، علاوه بر مدهای متقارن، مدهای غیرمتقارن نیز مورد بررسی قرار گرفته‌اند. در این راستا منابعی که به بررسی رفتار کمانشی نانوورق‌های دایروی و حلقوی پرداخته‌اند منابع [۲۱] و [۲۲] هستند. تفاوت پژوهش ارائه شده در این مقاله با منابع [۲۱] و [۲۲] را می‌توان به این صورت بیان کرد که در این دو منبع، با وجود اهمیت بالای مدهای غیرمتقارن، این مدها مورد بررسی قرار نگرفته‌اند، همچنین، منبع [۲۱] تنها به نانوورق‌های دایروی اختصاص دارد و نانوحلقه‌ها را مورد بررسی قرار نمی‌دهد و نیز روش حل معادله کمانشی در منبع [۲۲] حل دقیق نبوده از روش حل عددی تفاضل محدود استفاده شده است. همچنین، تاثیر پارامترهای هندسی نانوورق، شرایط تکیه‌گاهی و پارامتر غیرمحلى، بر این مسئله که مد مربوط به بار بحرانی کمانشی متقارن است یا غیرمتقارن، مورد بررسی قرار گرفته است. شایان ذکر است که برای وارد کردن اثرات اندازه‌ها و نیروهای درون اتمی از تئوری غیرمحلى ارینگن استفاده گردیده است. داده‌های این پژوهش برای طراحی مناسب‌تر سیستم‌های نano-الکترومکانیک، که در آن‌ها از نانوورق‌های گرافن استفاده می‌گردد، بسیار سودمند خواهد بود.

۲- تئوری غیرمحلى

تئوری غیرمحلى ارینگن تنש در یک نقطه از سازه را تابعی از کرنش تمام نقاط کل سازه در می‌گیرد. براساس این تئوری

4. Pasternak

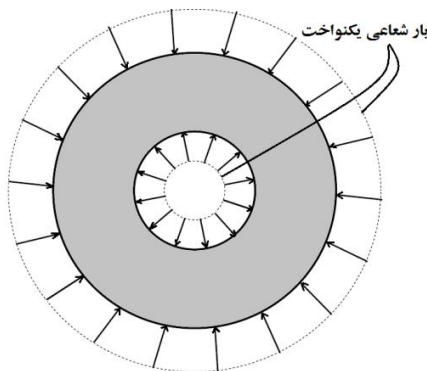
پیشرفت روزافزون علم و تکنولوژی نیاز مبرم به مواد و ساختارهایی با خواص برتر و پیشرفته را به دنبال داشته است. در این راستا نانوتکنولوژی [۱] حوزه رو به رشدی از مواد، ساختارها و دستگاه‌هایی است که در مقیاس نانو وجود دارند. نانوورق‌ها زیرشاخه بالهمیتی از این ریزساختارها محسوب می‌شوند که کاربرد فراوانی در صنعت امروزه دنیا پیدا کرده‌اند. از جمله این کاربردها می‌توان به استفاده آن‌ها در ساخت باطری‌ها [۲]، سنسورهای بیولوژیکی و شیمیایی [۳]، سلول‌های خورشیدی [۴] و ابزارهای میدان تششعش [۵] وغیره نام برد. این کاربردهای فراوان، نیاز شناسایی رفتار این ریزساختارها را پیش از پیش نمایان می‌سازند. داده‌های بی‌شمار تجربی در این راستا نشانگر این مطلب است که در این ابعاد اثرات اندازه سازه و نیروهای درون اتمی آن‌ها تاثیر غیرقابل چشم‌پوشی در خواص مکانیکی آن‌ها دارند [۶-۸]، اما تئوری‌های کانتینیومی کلاسیک به دلیل صرف‌نظر کردن از این اثرات قادر به ارائه مدل مناسبی از این ساختارها نیستند. در این بین، تئوری غیرمحلى^۱ ارینگن [۱۲-۹]، با وارد کردن این اثرات در معادلات ترکیبی خود به عنوان خواص مواد، قدرت بالایی در ارائه مدل دقیق و مناسبی از این نانوساختارها را دارد. از این رو در اغلب کارهای ارائه شده برای بررسی رفتار نانوورق‌ها از این تئوری استفاده شده است.

با وجود اهمیت فراوان دانستن پاسخ کمانشی نانوورق‌ها در زیر بارهای درون صفحه‌ای برای ساخت بهینه آن‌ها، کارهای کمی در این راستا ارائه شده است. همچنین، نتایج موجود در مقالات حاکی از این مطلب است که بار کمانشی بحرانی مربوط به نانوورق‌های حلقوی، بسته به شرایط مرزی، ضخامت و نسبت شعاع داخلی به خارجی، ممکن است متقارن یا نامتقارن^۲ باشد [۱۴، ۱۳]. با وجود این، منبعی در دست نیست که به بررسی این مطلب در مورد نانوورق‌های دایروی و حلقوی پرداخته باشد. در منابع [۱۵] و [۱۶] کمانش ورق‌های مستطیلی گرافن با استفاده از روش DQ^۳ ارائه شده است. از جمله کارهایی که با استفاده از حل تحلیلی ارتعاشات نانوورق‌های ایزوتروپیک را مورد بررسی قرار داده‌اند می‌توان به منابع [۱۷] و [۱۸] اشاره کرد. در کار دیگری حسینی هاشمی و

1. Nonlocal

2. Asymmetric

3. Differential Quadrature



شکل ۱ نانوورق حلقوی تحت بار شعاعی یکنواخت

فرض می‌شود که نانوورق ایزوتropیک بوده و خواص آن در همه جا یکنواخت باشد. شرایط برقراری تغیری نازک ورق‌ها (کیرشهف) به فرم زیر است:

$$u(r, \theta, z, t) = u_0(r, \theta, t) - z \frac{\partial w_0(r, \theta, t)}{\partial r} \quad (5)$$

$$v(r, \theta, z, t) = v_0(r, \theta, t) - z \frac{\partial w_0(r, \theta, t)}{r \partial \theta} \quad (6)$$

$$w(r, \theta, z, t) = w_0(r, \theta, t) = w \quad (7)$$

با چشم‌پوشی از کرنش در جهت ضخامت ϵ_{zz} ، کرنش‌های مناسب با جایگزینی در معادله‌های (۷-۵) برای تغییر شکل‌های کوچک به فرم زیر در می‌آیند:

$$\begin{aligned} \epsilon_{rr} &= \frac{\partial u}{\partial r}, \quad \epsilon_{\theta\theta} = \frac{u}{r} + \frac{\partial v}{r \partial \theta}, \quad \epsilon_{zz} = 0, \\ \epsilon_{r\theta} &= \frac{\partial v}{\partial r} + \frac{\partial u}{r \partial \theta} - \frac{v}{r}, \quad \epsilon_{rz} = \epsilon_{\theta z} = 0 \end{aligned} \quad (8)$$

براساس قانون هوک، روابط میان کرنش محلی و مؤلفه‌های جایگزینی به فرم زیر است.

$$\begin{aligned} \left\{ \begin{array}{l} \sigma_{rr} \\ \sigma_{\theta\theta} \\ \sigma_{r\theta} \end{array} \right\} &= \frac{E(z)}{1 - \nu^2} \left\{ \begin{array}{l} \frac{\partial u_0}{\partial r} + v \left(\frac{u_0}{r} + \frac{\partial v_0}{r \partial \theta} \right) \\ \frac{u_0}{r} + \frac{\partial v_0}{r \partial \theta} + v \frac{\partial u_0}{\partial r} \\ \frac{1 - \nu}{2} \left(\frac{\partial u_0}{r \partial \theta} + \frac{\partial v_0}{\partial r} - \frac{v_0}{r} \right) \end{array} \right\} \\ &- z \left(\frac{E(z)}{1 - \nu^2} \right) \left\{ \begin{array}{l} \frac{\partial^2 w}{\partial r^2} + v \left(\frac{\partial w}{r \partial r} + \frac{\partial^2 w}{r^2 \partial \theta^2} \right) \\ \frac{\partial w}{r \partial r} + \frac{\partial^2 w}{r^2 \partial \theta^2} + v \frac{\partial^2 w}{\partial r^2} \\ (1 - \nu) \left(\frac{\partial^2 w}{r \partial r \partial \theta} - \frac{\partial w}{r^2 \partial \theta} \right) \end{array} \right\} \end{aligned} \quad (9)$$

تنش غیر محلی با استفاده از رابطه انتگرالی زیر به صورت تابعی از تنش محلی (کلاسیک) بیان می‌شود:

$$t_{ij} = \int_V \alpha(|x' - x|) \sigma_{ij}(x') dV' \quad (1)$$

که این انتگرال بر روی کل حجم سازه، V ، محاسبه می‌شود؛ x' نقطه‌ای است که تنش در آن با توجه به تنش در تمامی نقاط x' در سازه محاسبه می‌شود؛ $ij = r, \theta, r\theta$ مولفه‌های مختصات قطبی هستند؛ $\alpha(|x' - x|)$ تابع کرنال غیر محلی است که به اندازه‌های درونی ساختار بستگی دارد؛ همچنین، t_{ij} به ترتیب تنش محلی و غیر محلی می‌باشند. از آنجایی که حل یک دیفرانسیلی آسان‌تر از معادله انتگرالی است، اینگونه تابع کرنال غیر محلی را به صورت تابع گرینی^۱ از عملگر دیفرانسیلی \mathcal{L} فرض کرد که [۱۲]:

$$\mathcal{L} \alpha(|x' - x|) = \delta(|x' - x|) \quad (2)$$

که با جایگذاری رابطه (۲) در (۱) داریم:

$$\mathcal{L} t_{ij} = \sigma_{ij} \quad (3)$$

درنهایت برای نمونه دو بعدی داریم:

$$\mathcal{L} = 1 - (e_0 l)^2 \nabla^2 = 1 - \mu \nabla^2 \quad (4)$$

که l اندازه‌های درونی و مقیاس کوچک، e_0 ثابت مواد که با استفاده از آزمایش‌های تجربی بدست می‌آید و $\nabla^2 = \frac{\partial^2}{\partial r^2} + \frac{\partial}{r \partial r} + \frac{\partial^2}{r^2 \partial \theta^2}$ عملگر لاپلاسین در مختصات قطبی است. مقدار پارامتر غیر محلی (μ) به شرایط تکیه‌گاهی، عدد مده، تعداد دیواره‌ها و لایه‌ها، و همچنین به ماهیت حرکت بستگی دارد. تا به امروز هیچ منبعی در دست نیست تا مقدار دقیق این پارامتر را تعیین کرده باشد [۲۳]. منابع موجود در این زمینه، برای بدست آوردن این پارامتر، پیشنهاد می‌کنند تا منحنی‌های انتشار^۲ مکانیک محیط پیوسته غیر محلی و دینامیک شبکه^۳ برای ساختارهای کریستالی نانومواد با یکدیگر مقایسه شوند [۲۳، ۱۰، ۹]. در این تحقیق، مقدار این پارامتر در بازه صفر تا 4 nm^2 در نظر گرفته می‌شود [۲۳].

۳- فرض‌های اساسی

نانوورقی با ضخامت کلی h و تحت بارگذاری یکنواخت N را با شعاع داخلی و خارجی r_i و r_o در نظر می‌گیریم (شکل ۱).

1. Green function
2. Dispersion curves
3. Lattice dynamics

۲-۳- معادله پایداری نانوورق

معادله پایداری را می‌توان از تغییر بسیار ناچیز در نزدیکی حالت تعادل به دست آورد [۲۵]. به عبارت دیگر معادله کمانش از رابطه $\delta^2 V = 0$ به دست می‌آید. بدین منظور مقادیر مولفه‌های جابه‌جایی به فرم زیر در نظر گرفته می‌شوند:

$$u_0 = u^0 + u^1, \quad v_0 = v^0 + v^1, \quad w = w^0 + w^1 \quad (20)$$

که در این رابطه بالانویس ۰ مربوط به حالت تعادل و بالانویس ۱ ناشی از تغییر بسیار ناچیز در مولفه‌ها از حالت تعادل است. درنتیجه مولفه‌های نیرو و ممان به فرم زیر به دست می‌آیند:

$$N_r = N_r^0 + N_r^1, \quad M_r = M_r^0 + M_r^1 \quad (21)$$

$$N_\theta = N_\theta^0 + N_\theta^1, \quad M_\theta = M_\theta^0 + M_\theta^1 \quad (22)$$

$$N_{r\theta} = N_{r\theta}^0 + N_{r\theta}^1, \quad M_{r\theta} = M_{r\theta}^0 + M_{r\theta}^1 \quad (23)$$

با حذف جملات درجه دو و همچنین با صفر کردن تغییر شکل عمودی حالت پیش‌بار، $w^0 = 0$ [۲۴]، همچنین با علم به اینکه در حالت بار فشار شعاعی یکنواخت داریم $N_r^0 = N_\theta^0 = -N$ ، $N_{r\theta}^0 = 0$ با جایگذاری معادلات (۲۳-۲۱) در معادلات تعادل و درنهایت با صفر کردن عبارت‌های مربوط به حالت پیش‌بار، به صورتی که در مرجع [۲۴] انجام شده است، به فرم زیر به دست می‌آیند:

$$\frac{\partial N_r}{\partial r} + \frac{\partial N_{r\theta}}{\partial \theta} + \frac{N_r - N_\theta}{r} = 0 \quad (24)$$

$$\frac{\partial N_\theta}{\partial \theta} + \frac{\partial N_{r\theta}}{\partial r} + 2 \frac{N_{r\theta}}{r} = 0 \quad (25)$$

$$\begin{aligned} \frac{\partial^2 M_r}{\partial r^2} + \frac{2}{r} \frac{\partial M_r}{\partial r} + \frac{1}{r^2} \frac{\partial^2 M_\theta}{\partial \theta^2} - \frac{1}{r} \frac{\partial M_\theta}{\partial r} + \\ \frac{2}{r} \frac{\partial^2 M_{r\theta}}{\partial r \partial \theta} + \frac{2}{r^2} \frac{\partial M_{r\theta}}{\partial \theta} - N \nabla^2 w = 0 \end{aligned} \quad (26)$$

درنهایت با استفاده از رابطه (۱۸) و (۱۹) و ضرب $[1 - \mu \nabla^2]$ در معادلات (۲۴) تا (۲۶)، و نیز با توجه به این نکته که در تئوری کیرشهف، معادله (۲۶) معادله اصلی و مستقل از دو معادله دیگر است، معادله کمانش نانوورق نازک به فرم زیر تبدیل می‌شود:

$$\begin{aligned} -D \left(\frac{\partial^4 w}{\partial r^4} + 2 \frac{\partial^3 w}{\partial r^3} - \frac{\partial^2 w}{\partial r^2} + \frac{\partial w}{\partial r} + \frac{\partial^4 w}{\partial \theta^4} \right. \\ \left. + 2 \frac{\partial^4 w}{\partial r^2 \partial \theta^2} - 2 \frac{\partial^3 w}{\partial r^3 \partial \theta^2} + 4 \frac{\partial^2 w}{\partial r^4 \partial \theta^2} \right) \\ - (1 - \mu \nabla^2) N \nabla^2 w = 0 \end{aligned} \quad (27)$$

برای به دست آوردن انرژی پتانسیل کل نانوورق، انرژی کرنش با انرژی پتانسیل ناشی از بارهای خارجی به فرم زیر جمع می‌شوند [۲۴]:

$$V = \Omega + U \quad (10)$$

که انرژی کرنشی در فرم غیر محلی به فرم زیر است [۲۳]:

$$U = \frac{1}{2} \int_{-h/2}^{h/2} \int_0^{2\pi} \int_0^r \left(t_n \mathcal{E}_{rr} + t_{\theta\theta} \mathcal{E}_{\theta\theta} + t_{r\theta} \mathcal{E}_{r\theta} \right) r dr d\theta dz \quad (11)$$

و انرژی پتانسیل ناشی از بارهای خارجی به فرم زیر [۲۴]:

$$\Omega = -\frac{N}{h} \int_0^r \int_0^{2\pi} \int_{-h/2}^{h/2} \left(\frac{\partial(ru_r)}{\partial r} + \frac{\partial u_\theta}{\partial \theta} \right) dr d\theta dz \quad (12)$$

درنهایت با استفاده از اصل مینیمم انرژی پتانسیل $\delta V = 0$ معادلات تعادل غیر محلی نانوورق کیرشهف به فرم سه معادله (۱۳) تا (۱۵) به دست می‌آیند. شایان ذکر است معادلات فوق، با گرفتن مشتق جزیی از عبارت انرژی پتانسیل کل نانوورق، و مساوی صفر قراردادن ضرایب δv_o ، δu_o و δw به ترتیب حاصل شده‌اند [۲۳].

$$\frac{\partial N_r}{\partial r} + \frac{\partial N_{r\theta}}{r \partial \theta} + \frac{N_r - N_\theta}{r} = 0 \quad (13)$$

$$\frac{\partial N_\theta}{r \partial \theta} + \frac{\partial N_{r\theta}}{\partial r} + 2 \frac{N_{r\theta}}{r} = 0 \quad (14)$$

$$\begin{aligned} \frac{\partial^2 M_r}{\partial r^2} + \frac{2}{r} \frac{\partial M_r}{\partial r} + \frac{1}{r^2} \frac{\partial^2 M_\theta}{\partial \theta^2} - \frac{1}{r} \frac{\partial M_\theta}{\partial r} + \frac{2}{r} \frac{\partial^2 M_{r\theta}}{\partial r \partial \theta} \\ + \frac{2}{r^2} \frac{\partial M_{r\theta}}{\partial \theta} + N_r \frac{\partial^2 w}{\partial r^2} + N_\theta \left(\frac{\partial w}{r \partial r} + \frac{\partial^2 w}{r^2 \partial \theta^2} \right) \\ + 2 N_{r\theta} \left(\frac{\partial^2 w}{r \partial r \partial \theta} - \frac{\partial w}{r^2 \partial \theta} \right) = 0 \end{aligned} \quad (15)$$

که در این روابط N_i, M_i ($i = r, \theta, r\theta$) مولفه‌های نیرو و گشتاور هستند که از روابط زیر به دست می‌آیند [۲۳]:

$$(N_r, N_\theta, N_{r\theta}) = \int_{-h/2}^{h/2} (t_n, t_{\theta\theta}, t_{r\theta}) dz \quad (16)$$

$$(M_r, M_\theta, M_{r\theta}) = \int_{-h/2}^{h/2} (t_n, t_{\theta\theta}, t_{r\theta}) z dz \quad (17)$$

با توجه به روابط (۴) و (۱۶) و (۱۷) داریم:

$$[1 - \mu \nabla^2] N_{ij} = N_{ij}^L \quad (18)$$

$$[1 - \mu \nabla^2] M_{ij} = M_{ij}^L \quad (19)$$

بالانویس L نشانگر کلاسیک بودن داده است.

۲×۲ می‌شود. شرایط مرزی برای نانوورق‌های دایروی و حلقوی برای ورق‌های نازک به صورت زیر است:

$$w=0, \frac{\partial w}{\partial r}=0$$

$$w=0, \frac{\partial M}{\partial r}=0$$

۴- نتایج عددی

به دلیل سادگی روش ارائه شده، به دست آوردن بار کمانشی در هر شرایط تکیه‌گاهی به آسانی میسر خواهد بود. برای تایید درستی داده‌ها، کرنش کمانشی^۱ (ε_b) به دست آمده از رابطه زیر با نتایج ارائه شده در [۲۱] برای نانوورق‌های دایروی مقایسه شده است.

$$\varepsilon_b = N/Eh \quad (36)$$

همان‌گونه که از جدول ۱ و شکل ۲ مشخص است، تمامی داده‌ها دقیقاً منطبق بر نتایج ارائه شده در منابع [۲۱] و [۲۲] است. از آنجا که در این پژوهش تاثیر پارامتر غیرمحلي بر روی رفتار کمانشی نانو ورق دایروی و حلقوی با شرایط تکیه‌گاهی و مدهای مختلف مورد بررسی قرار می‌گیرد و این عوامل از جمله عواملی هستند که بر روی مقدار دقیق پارامتر غیرمحلي در استفاده از تئوری الاستیسیته غیرمحلي تاثیرگذارند و از طرفی منبعی بهطور کامل و جامع مقدار دقیق آن را برای شرایط ذکر شده گزارش نکرده است، مقدار این پارامتر در بازه [۲۳-۲۱]. محافظه کارانه صفر تا 4nm^2 درنظر گرفته شده است [۲۳-۲۱]. شایان ذکر است که هر نانوورق حلقوی با دو علامت نشان داده می‌شود که هر یک شرایط مرزی را در طول شعاع داخلی و خارجی مشخص می‌کنند. برای مثال $S-C$ نانوورق حلقوی است که دارای شرایط تکیه‌گاه ساده در طول شعاع داخلی و شرایط تکیه‌گاه گیردار در طول شعاع خارجی است. در صورتی که اطلاعاتی نظیر شعاع خارجی، R و شرایط مرزی ارائه نشده باشند، به ترتیب به صورت $10, 0/2, 0/0.5\text{nm}^2$ و نانوورق حلقوی با شرایط $C-C$ درنظر گرفته می‌شوند.

همچنین، برای اثبات درستی نتایج برای نانوورق‌های حلقوی، در شکل ۲، بارهای کمانشی بی‌بعد برای نانوورق‌هایی با شرایط تکیه‌گاهی $C-C$ و $S-S$ و شعاع‌های خارجی و داخلی به ترتیب ۲۰ و ۱۰ نانومتر با داده‌های ارائه شده در منبع [۲۲] مقایسه شده است.

1.Buckling strain

در این رابطه، $D = Eh^3 / (12(1-\nu^2))$ استحکام خمشی نانوورق است. با بی‌بعد کردن معادله بالا با فرضیات زیر:

$$\bar{w} = \frac{w}{r_o}, \quad r^* = \frac{r}{r_o}, \quad z^* = \frac{z}{h},$$

$$\tau = \frac{h}{r_o}, \quad R = \frac{r_i}{r_o}, \quad \bar{D} = \frac{D}{Eh^3} \quad (28)$$

داریم:

$$(\bar{D} - \frac{\bar{N}\mu}{r_o^2})\bar{\Delta}\bar{\Delta}\bar{w} + \bar{N}\bar{\Delta}\bar{w} = 0 \quad (29)$$

که در این رابطه $\bar{\Delta} = \frac{\partial^2}{\partial r^{*2}} + \frac{\partial}{r^*\partial r^*} + \frac{\partial^2}{r^{*2}\partial\theta^2}$ است. معادله (۲۹) را می‌توان به‌شکل زیر تجزیه کرد که دو معادله با جواب تابع بسل می‌باشند:

$$(\bar{D} - \frac{\bar{N}\mu}{r_o^2})\bar{\Delta}\bar{w} + \bar{N}\bar{w} = 0, \quad \bar{\Delta}\bar{w} = 0, \quad (30)$$

با حل معادله بالا، دو جواب $\bar{w} = \bar{w}_1 + \bar{w}_2$ که به‌صورت زیر می‌باشند به‌دست می‌آید [۲۶]:

$$w_1 = A_1 r^{*p} \cos(p\theta) + A_2 \left\{ \begin{array}{l} \log r^* \\ r^{*-p} \end{array} \right\} \cos(p\theta) \quad (31)$$

$$w_2 = A_3 J_p (\delta_2 r^*) \cos(p\theta) + A_4 Y_p (\delta_2 r^*) \cos(p\theta) \quad (32)$$

که در آن

$$\delta_2^2 = \frac{\bar{N}}{\bar{D} - \frac{\bar{N}\mu}{r_o^2}} \quad (33)$$

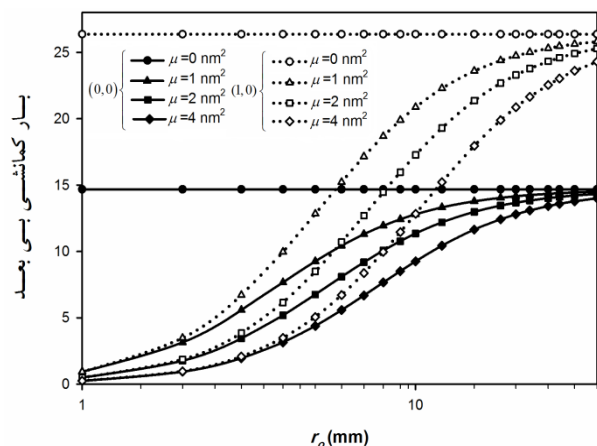
$$\bar{N} = \frac{Nr_o^2}{Eh^3} \quad (34)$$

رابطه (۳۴) بار کمانش بی‌بعد است. شایان ذکر است که قسمت بالای رابطه (۳۱) برای کمانش متقارن ($p=0$) و پایین برای کمانش غیرمتقارن ($p\neq 0$) است. درنهایت برای به‌دست آوردن بارهای کمانشی، با اعمال شرایط مرزی به معادلات (۳۱)

و (۳۲) به سیستم ماتریسی همگن زیر می‌رسیم:

$$[H]_{4\times 4} [\Gamma]_{4\times 1} = \{0\}_{4\times 1} \quad (35)$$

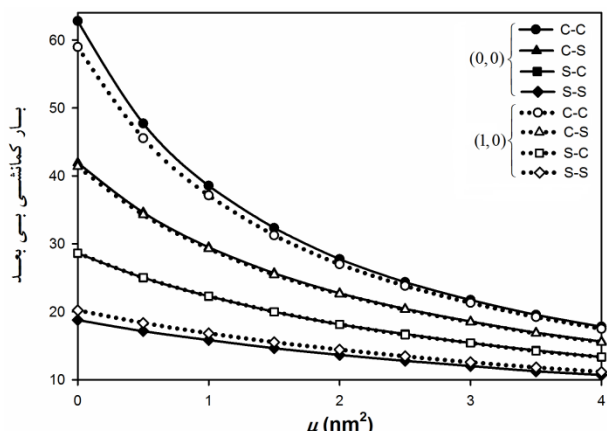
که در معادله بالا $\{\Gamma\}$ ماتریس ضرایب نامعین A_i است. حال با مساوی صفر قراردادن دترمینان ماتریس $H(|H|=0)$ می‌توان مقادیر δ را به‌دست آورد که با استفاده از رابطه (۳۳) بارهای بحرانی کمانش به‌دست می‌آیند. شایان ذکر است که ماتریس $[H]$ برای نانوورق‌های دایروی تبدیل به ماتریس



شکل ۳ تغییرات بار کمانشی متقارن و نامتقارن با شعاع خارجی نانوورق (نانوورق دایروی با لبه گیردار)

۴-۲-۴ اثر پارامتر غیر محلی و شرایط تکیه‌گاهی
تأثیر پارامتر غیر محلی با سفت‌ترشدن شرایط تکیه‌گاهی افزایش می‌یابد. به عبارت دیگر، همان‌گونه که از شکل ۴ می‌توان دید، اثر کاهندگی پارامتر غیر محلی برای شرایط تکیه‌گاهی C-C بیشترین و برای S-S کمترین مقدار را دارد.

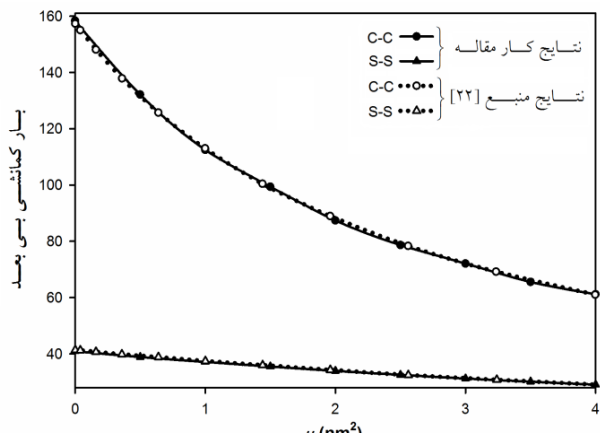
نکته دیگری که از این شکل به دست می‌آید این است که بار بحرانی کمانشی بسته به شرایط مرزی نانوورق می‌تواند متقارن یا نامتقارن باشد. همچنین، مشاهده می‌شود که با افزایش سفتی شرایط مرزی، مد متقارن کمانشی مسئول بار بحرانی کمانش جای خود را به مد نامتقارن می‌دهد. به عبارت دیگر، در شرایط تکیه‌گاهی سفت‌تر و همچنین در مقادیر کمتر پارامتر غیر محلی مد مسئول بار بحرانی کمانش از نوع نامتقارن (مد (۱,۰)) است.



شکل ۴ تغییرات بار کمانشی متقارن و غیرمتقارن با پارامتر غیر محلی برای شرایط مرزی مختلف

جدول ۱ مقایسه کرنش کمانشی برای نانوورق ایزوتروپیک دایروی با شرایط مرزی تکیه‌گاه گیردار ($h=0/335$)

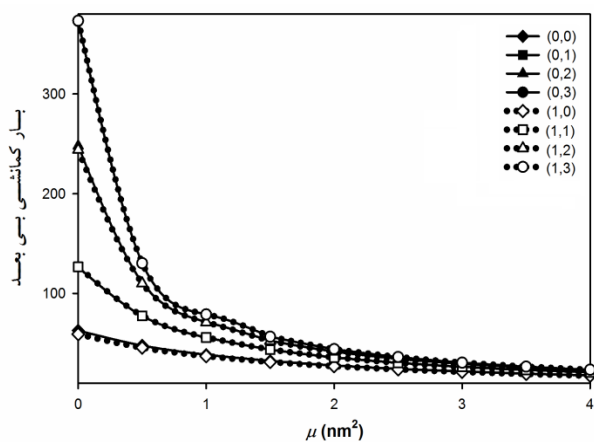
شعاع (mm) ($\mu=(e_0 a)^2$)	کرنش کمانشی (ϵ_b %)			
	۴	۲/۲۵	۱	۰/۲۵
۰/۲۰۲	۰/۳۰۸	۰/۴۹۲	۰/۷۶۷	۰/۹۴۳
۰/۲۰۲	۰/۳۰۸	۰/۴۹۲	۰/۷۶۷	۰/۹۴۳ [۲۱]۴
۰/۱۵۹	۰/۲۱۹	۰/۲۹۸	۰/۳۸۰	۰/۴۱۹
۰/۱۵۹	۰/۲۱۹	۰/۲۹۸	۰/۳۸۰	۰/۴۱۹ [۲۱]۶
۰/۱۲۳	۰/۱۵۶	۰/۱۹۲	۰/۲۲۳	۰/۲۳۶
۰/۱۲۳	۰/۱۵۶	۰/۱۹۲	۰/۲۲۳	۰/۲۳۶ [۲۱]۸
۰/۰۹۵	۰/۱۱۳	۰/۱۳۲	۰/۱۴۶	۰/۱۵۱
۰/۰۹۵	۰/۱۱۳	۰/۱۳۲	۰/۱۴۶	۰/۱۵۱ [۲۱]۱۰



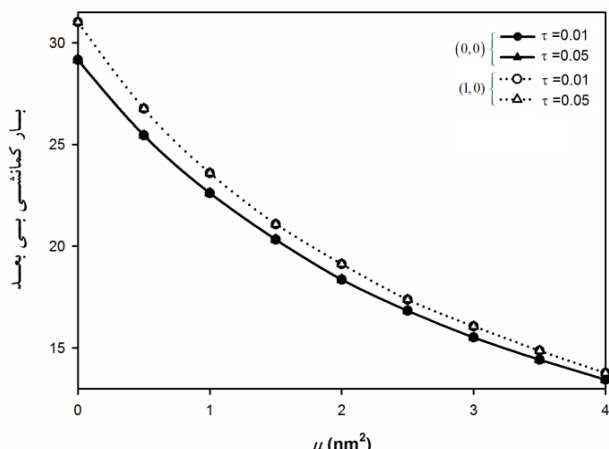
شکل ۲ مقایسه بارهای کمانشی بی‌بعد نانوورق‌های C-C و S-S با منبع [۲۲]

۴-۱-۱ اثر پارامتر غیر محلی و شعاع نانوورق

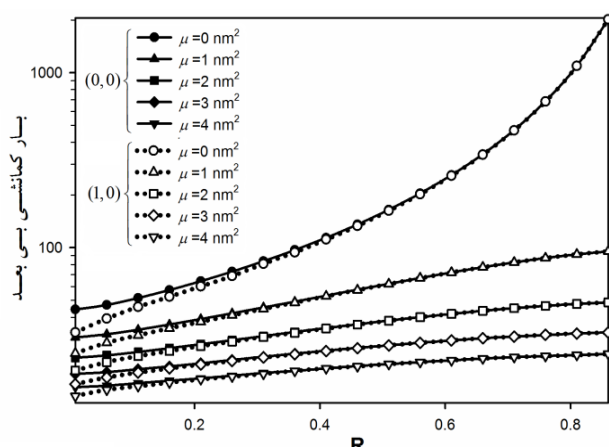
همان‌گونه که از شکل ۳ قابل مشاهده است، با افزایش شعاع نانوورق، اثر پارامتر غیر محلی کاهش یافته و بارهای کمانشی غیر محلی به بار کمانشی محلی می‌کنند. به عبارت دیگر، به‌ازای شعاع معینی، با افزایش شعاع نانوورق، می‌توان این مطلب را بیان کرد که پارامتر غیر محلی اثری بر بارهای کمانشی ندارد. این نتایج کاملاً با داده‌های منابع دیگر همخوانی داشته و در حالتی که ابعاد ورق بسیار بزرگ‌تر از ابعاد درون اتمی باشد، کاملاً اثرات اندازه و نیروهای درون اتمی قابل چشم‌پوشی می‌شوند. نکته دیگری که از این شکل می‌توان دریافت این است که اختلاف بار کمانشی مدهای اول متقارن و نامتقارن در شعاع‌های کمتر، بسیار کمتر است.



شکل ۵ تغییرات بارهای کمانشی متقارن و نامتقارن با پارامتر غیرمحلي برای مدهای مختلف کمانشی



شکل ۶ تغییرات بار کمانشی برای نانوورق حلقوی با نسبت‌های مختلف ضخامت بر شاعع خارجی



شکل ۷ تغییرات بارهای کمانشی متقارن و نامتقارن با پارامتر R غیرمحلي برای نانوورق حلقوی با نسبت‌های مختلف

نتایج نشان داده شده در شکل ۴ درواقع این نکته را نمایان می‌سازد که پارامتر غیرمحلي مقادیر بارهای کمانشی که مقدار بیشتری دارند را بیشتر تحت تاثیر قرار می‌دهد. درنتیجه بارهای بحرانی نانوورق‌هایی با شرایط تکیه‌گاهی سفت‌تر، با افزایش پارامتر غیرمحلي، کاهش بیشتری می‌یابند.

۴-۳- اثر پارامتر غیرمحلي و مده کمانشی
اثر پارامتر غیرمحلي، با بالارفتن مد کمانش بیشتر می‌شود، بهعبارت بهتر، پارامتر غیرمحلي بارهای کمانشی با مدهای بالاتر را بیشتر کم می‌کند. این نکته را می‌توان بهوضوح در شکل ۵ مشاهده نمود. دلیل این افزایش اثر پارامتر غیرمحلي در مدهای بالاتر را می‌توان با این نکته مرتبه دانست که در طول موج‌های کوچک‌تر (مدهای بالاتر) کنش و واکنش میان اتم‌ها افزایش می‌یابد که این امر باعث افزایش تاثیر پارامتر غیرمحلي در مدهای کمانشی بالاتر می‌گردد. شایان ذکر است، با توجه به این شکل، برای مدهای بالاتر اختلاف مدهای متقارن و نامتقارن کمتر می‌شود.

۴-۴- اثر پارامتر غیرمحلي و نسبت τ
در شکل ۶، تغییرات بارهای متقارن و غیرمتقارن کمانشی برای نسبت‌های مختلف ضخامت بر شاعع خارجی، τ ، ارائه شده است. همان‌گونه که از این شکل قابل مشاهده است، تغییرات این نسبت بر اثر کاهندگی پارامتر غیرمحلي تاثیر چندانی ندارد. درواقع تاثیر این پارامتر مانند پارامتر شاعع خارجی نانوورق است اما از آنجایی که افزایش و کاهش نسبت ضخامت به شاعع خارجی در بازه کوچکی انجام می‌شود، بنابراین این پارامتر تاثیر چندانی در بارهای کمانشی نخواهد داشت.

۴-۵- اثر پارامتر غیرمحلي و نسبت R
عامل دیگری که در تعیین متقارن یا نامتقارن بودن بار بحرانی کمانش مؤثر است، نسبت شاعع داخلی به خارجی، R ، است. همان‌طور که از شکل ۷ مشخص است، در مقادیر کمتر این نسبت بار بحرانی کمانش از نوع نامتقارن و در مقادیر بالا بار بحرانی کمانش نانوورق از نوع متقارن است. همچنین، نکته دیگری که از این شکل می‌توان مشاهده نمود این است که تاثیر پارامتر غیرمحلي بر روی بار کمانشی نانوورق با نسبت شاعع‌های بیشتر، بالاتر بوده و با کاهش نسبت شاعع‌ها اثر این پارامتر کاهش می‌یابد.

- [2] Ma M., Tu J. P., Yuan Y. F., Wang X. L., Li K. F., Mao F., Zeng Z. Y., "Electrochemical Performance of ZnO Nanoplates as Anode Materials for Ni/Zn Secondary Batteries", *Journal of Power Source*, Vol. 179, 2008, pp. 395-400.
- [3] Yguerabide J., Yguerabide E. E., "Resonance Light Scattering Particles as Ultrasensitive Labels for Detection of Analytes in a wide Range of Applications", *Journal of Cellular Biochemistry-Supplement*, Vol. 37, 2001, pp. 71-81.
- [4] Agesen M., Sorensen C. B., "Nanoplates and Their Suitability for Use as Solar Cells", *Proceeding of Clean Technology*, Boston, 2008, pp. 109-112.
- [5] Bai W., Zhu X., Zhu Z. Q., Chu J. H., "Synthesis of Zinc Oxide Nanosheet Thin Films and Their Improved Field Emission and Photoluminescence Properties by Annealing Processing", *Applied Surface Science*, Vol. 254, No. 20, 2008, pp. 6483-6488.
- [6] Ma Q., Clarke D. R., "Size dependent Hardness of Silver Single Crystals". *Journal of Materials Research*, Vol. 10, 1995, pp. 853-63.
- [7] Fleck N. A., Muller G. M., Ashby M. F., Hutchinson J. W., "Strain Gradient Plasticity: Theory and Experiment". *Acta Metallurgica et Materialia*, Vol. 42, No. 2, 1994, pp. 475-87.
- [8] Chong A. C. M., Yang F., Lam D. C. C., Tong P., "Torsion and Bending of Micron-Scaled Structures", *Journal of Materials Research*, Vol. 16, No. 04, 2001, pp. 1052-8.
- [9] Eringen A. C., "Nonlocal Polar Elastic Continua", *International Journal of Engineering Science*, Vol. 10, 1972, pp. 1-16.
- [10] Eringen A. C., "ON Differential-Equations of Nonlocal Elasticity and Solutions of Screw Dislocation and Surface-Waves", *Journal of Applied Physics*, Vol. 54, 1983, pp. 4703-4710.
- [11] Eringen A. C., Edelen D. G. B., "On Nonlocal Elasticity", *International Journal of Engineering Science*, Vol. 10, 1972, pp. 233-248.
- [12] Eringen A. C., *Nonlocal continuum Field Theories*, New York, Springer, 2002.
- [13] Yamaki N., "Buckling of a Thin Annular Plate under Uniform Compression", *Journal of Applied Mechanics, ASME*, Vol. 25, 1958, pp. 267-273.
- [14] Majumdar S., "Buckling of a Thin Annular Plate under Uniform Compression", *AIAA Journal*, Vol. 9, No. 9, 1971, pp. 1701-07.
- [15] Pradhan S. C., Murmu T., "Small Scale Effect on the Buckling of Single-Layered Graphene Sheets under Biaxial Compression via Nonlocal Continuum Mechanics", *Computational Materials Science*, Vol. 47, 2009, pp. 268-274.
- [16] Farajpour A., Shahidi A. R., Mohammadi M., Mohzoon M., "Buckling of Orthotropic Micro/Nanoscale Plates under Linearly Varying In-

تاثیر پارامتر غیرمحلى به گونه‌ای است تا تمامی بارهای کمانش در حالت‌های مختلف کاهش یافته و به مقدار خاصی میل کنند. بنابراین، در این راستا، بارهایی که مقدار آن‌ها بیشتر است، بیشتر کاهش می‌یابند و تاثیر بیشتری از پارامتر غیرمحلى می‌گیرند. در این میان، با افزایش نسبت R بار کمانشی افزایش یافته و درنتیجه اثر کاهندگی پارامتر غیرمحلى بر روی آن افزایش می‌یابد.

۵- نتیجه‌گیری

در این پژوهش، کمانش متقارن و غیرمتقارن نانوورق‌های نازک، با بهره‌گیری از تئوری کیرشهف، با استفاده از حلی دقیق و تحلیلی مورد بررسی قرار گرفت. همچنین، برای واردکردن تاثیرات اندازه‌ها و نیروهای درون اتمی تئوری غیرمحلى ارینگن مورد استفاده قرار گرفته و تاثیرات پارامترهای هندسی نانوورق، شرایط تکیه‌گاهی و پارامتر غیرمحلى بر روی رفتار کمانشی نانوورق مورد بررسی قرار گرفت. از آنجایی که بسته به پارامترهایی از جمله شرایط مرزی، نسبت شعاع داخلی به خارجی نانوورق حلقوی و همچنین ضخامت نانوورق بار بحرانی می‌تواند متقارن یا نامتقارن باشد، برای بدست آوردن بارهای بحرانی کمانشی مدهای غیرمتقارن نیز مورد بررسی قرار گرفت. نتایج این کار حاکی از این است که پارامتر غیرمحلى اثر کاهندگی بر روی بارهای کمانشی دارد و این اثر با تغییر در شرایط تکیه‌گاهی، شعاع خارجی نانوورق، نسبت شعاع داخلی به خارجی نانوورق و همچنین شماره مدانش تغییر می‌کند. با سفت‌تر شدن شرایط تکیه‌گاهی و کاهش شعاع نانوورق و همچنین افزایش نسبت شعاع داخلی به خارجی، اثر پارامتر غیرمحلى افزایش می‌یابد. همچنین، در شرایط مرزی سفت‌تر و همچنین در نسبت‌های کمتر نسبت شعاع داخلی به خارجی بارهای بحرانی کمانش از نوع نامتقارن هستند، از این رو، چشمپوشی از این مدها امکان دارد که منجر به داده‌های غلط و درنتیجه طراحی نادرست گردد.

۶- مراجع

- [1] Taniguchi N., "On the Basic Concept of Nanotechnology", *Proceedings of the International Conference of Production Engineering*, London, 1974, pp. 18-23.

- Continuum Plate Model”, *Physica E*. Vol. 43, 2011, pp. 1820-1825.
- [22] Karamooz Ravari M. R., Shahidi A. R., “Axisymmetric Buckling of the Circular Annular Nanoplates using Finite Difference Method”, *Meccanica*, DOI: 10.1007/s11012-012-9589-3, 2012.
- [23] Hosseini Hashemi Sh., Bedroud M., Nazemnezhad R., “An Exact Analytical Solution for Free Vibration of Functionally Graded Circular/Annular Mindlin Nanoplates via Nonlocal Elasticity”, *Composite Structures*, Vol. 103, 2013, pp. 108-118.
- [24] Naderi A., Saidi A. R., “Exact Solution for Stability Analysis of Moderately Thick Functionally Graded Sector Plates on Elastic Foundation”, *Composite Structures*, Vol. 93, 2011, pp. 629-38.
- [25] Jones R. M., *Buckling of Bars, Plates, and Shells*, Virginia, Bull Ridge, Publishing, 2006.
- [26] Wang C. M., Aung T., “Buckling of Circular Mindlin Plates with an Internal Ring Support and Elastically Restrained Edge”, *Journal of Engineering Mechanics-ASCE.*, Vol. 131, No. 4, 2005, pp. 359-366.
- Plane Load via Nonlocal Continuum Mechanics”, *Composite Structures*, Vol. 94, 2012, pp. 1605-1615.
- [17] Aghababaei R., Reddy J. N., “Nonlocal Third-Order Shear Deformation Plate Theory with Application to Bending and Vibration of Plates”, *Journal of Sound and Vibration*, Vol. 326, 2009, pp. 277-289.
- [18] Pradhan S. C., Phadikar J. K., “Nonlocal Elasticity Theory for Vibration of Nanoplates”, *Journal of Sound and Vibration*, Vol. 325, 2009, pp. 206-223.
- [19] Hosseini Hashemi Sh., Samaei A. T., “Buckling Analysis of Micro/Nanoscale Plates via Nonlocal Elasticity Theory”, *Physica E*. Vol. 43, 2011, pp. 1400-1404.
- [20] Samaei A. T., Abbasion S., Mirsayar M. M., “Buckling Analysis of a Single-Layer Graphene Sheet Embedded in an Elastic Medium Based on Nonlocal Mindlin Plate Theory”, *Mechanics Research Communications*, Vol. 38, 2011, pp. 481-485.
- [21] Farajpour A., Mohammadi M., Shahidi A. R., Mahzoon M., “Axisymmetric Buckling of the Circular Graphene Sheets with the Nonlocal